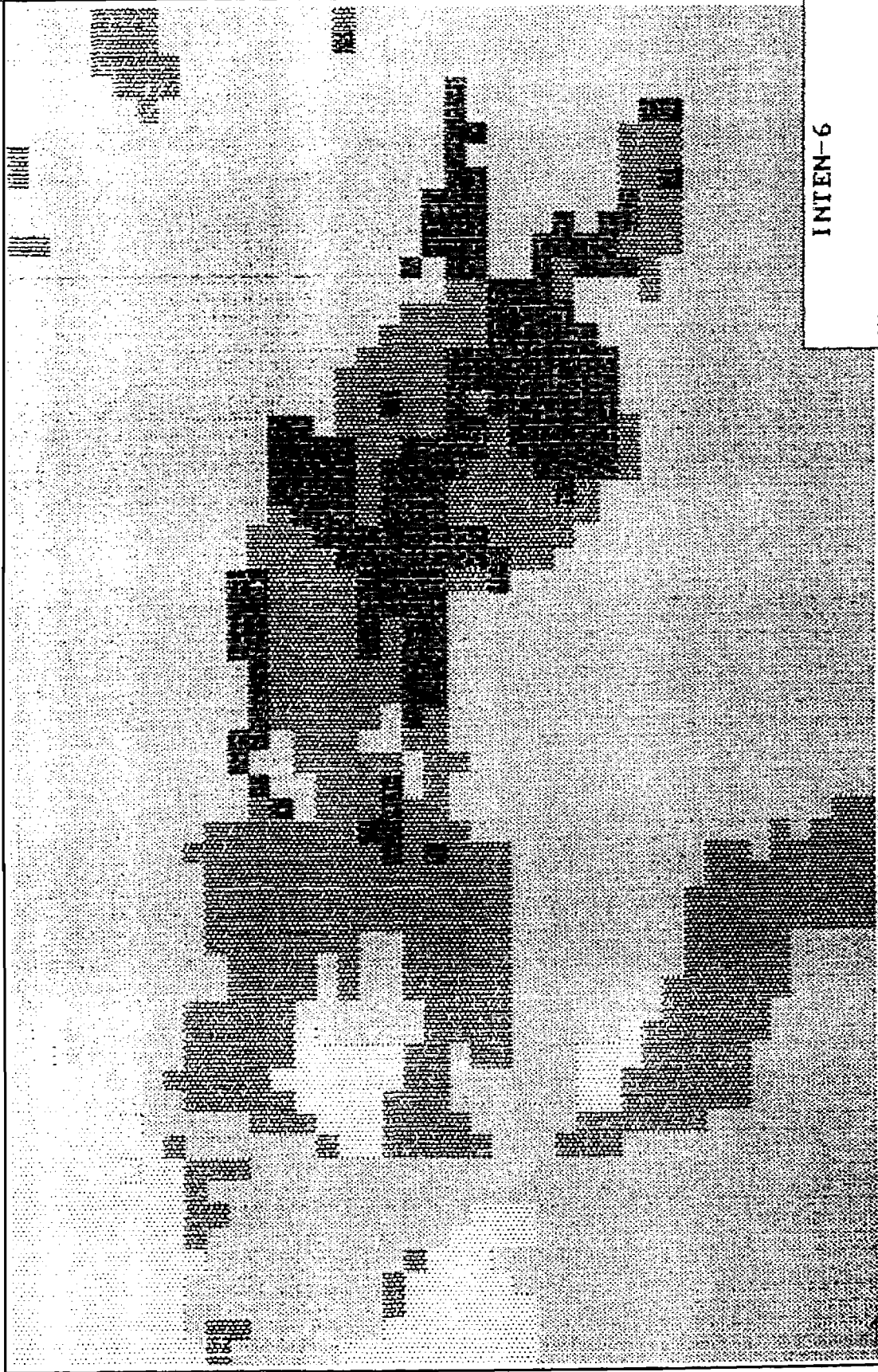


MAPA V-5. Simulación de intensidades para el segmento de falla DROSI 3. Considerando aluvión saturado.

FUENTE: Elaborado por Montero, C. y González, V.

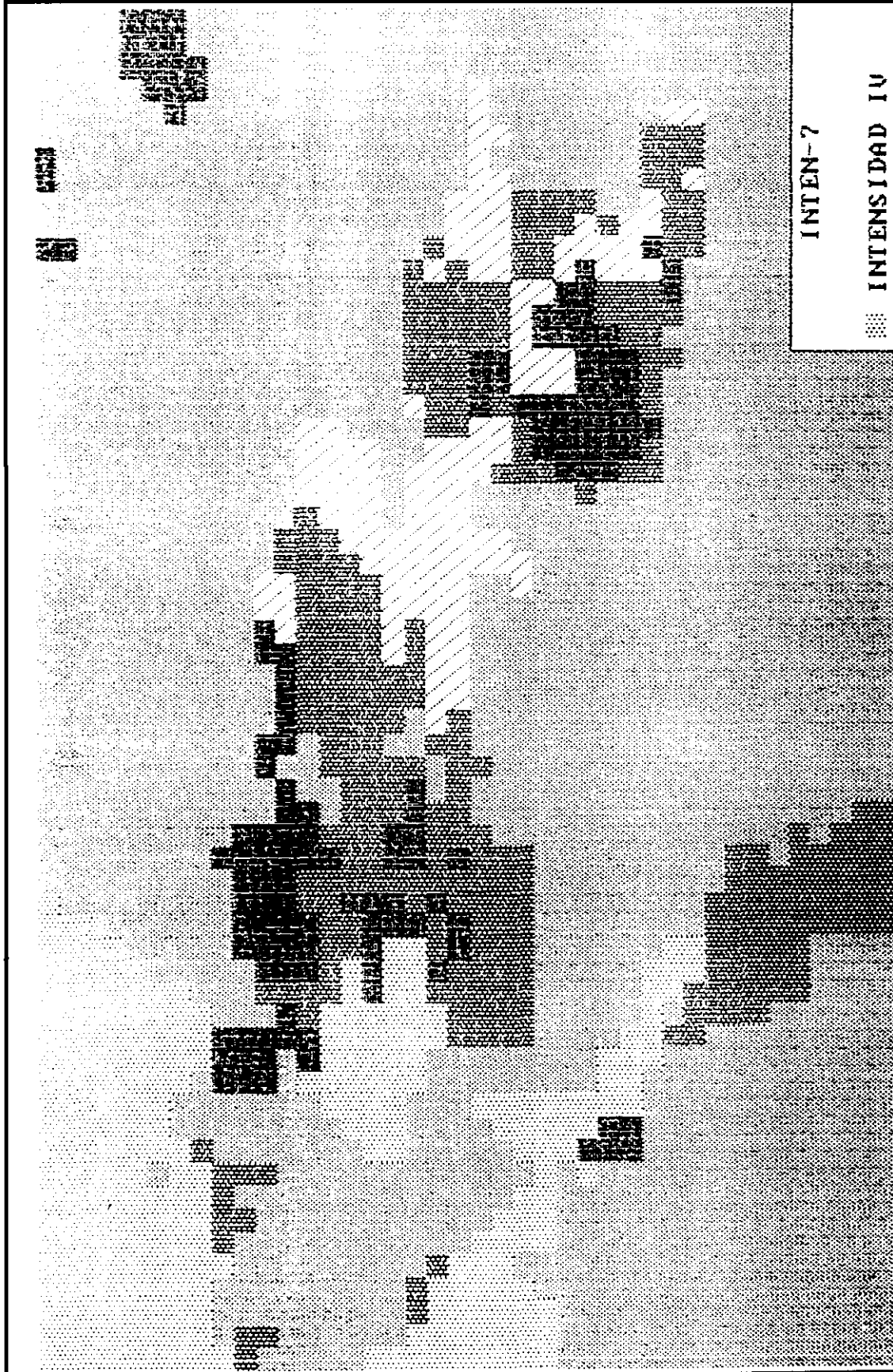
INSTITUTO VENEZOLANO DE INVESTIGACIONES CIENTÍFICAS Y TECNOLÓGICAS (IVIC) - INSTITUTO VENEZOLANO DE INVESTIGACIONES CIENTÍFICAS Y TECNOLÓGICAS (IVIC) - INSTITUTO VENEZOLANO DE INVESTIGACIONES CIENTÍFICAS Y TECNOLÓGICAS (IVIC) - INSTITUTO VENEZOLANO DE INVESTIGACIONES CIENTÍFICAS Y TECNOLÓGICAS (IVIC) - INSTITUTO VENEZOLANO DE INVESTIGACIONES CIENTÍFICAS Y TECNOLÓGICAS (IVIC)



INTEN-6

- INTENSIDAD IV
- INTENSIDAD V
- INTENSIDAD VI
- INTENSIDAD VII

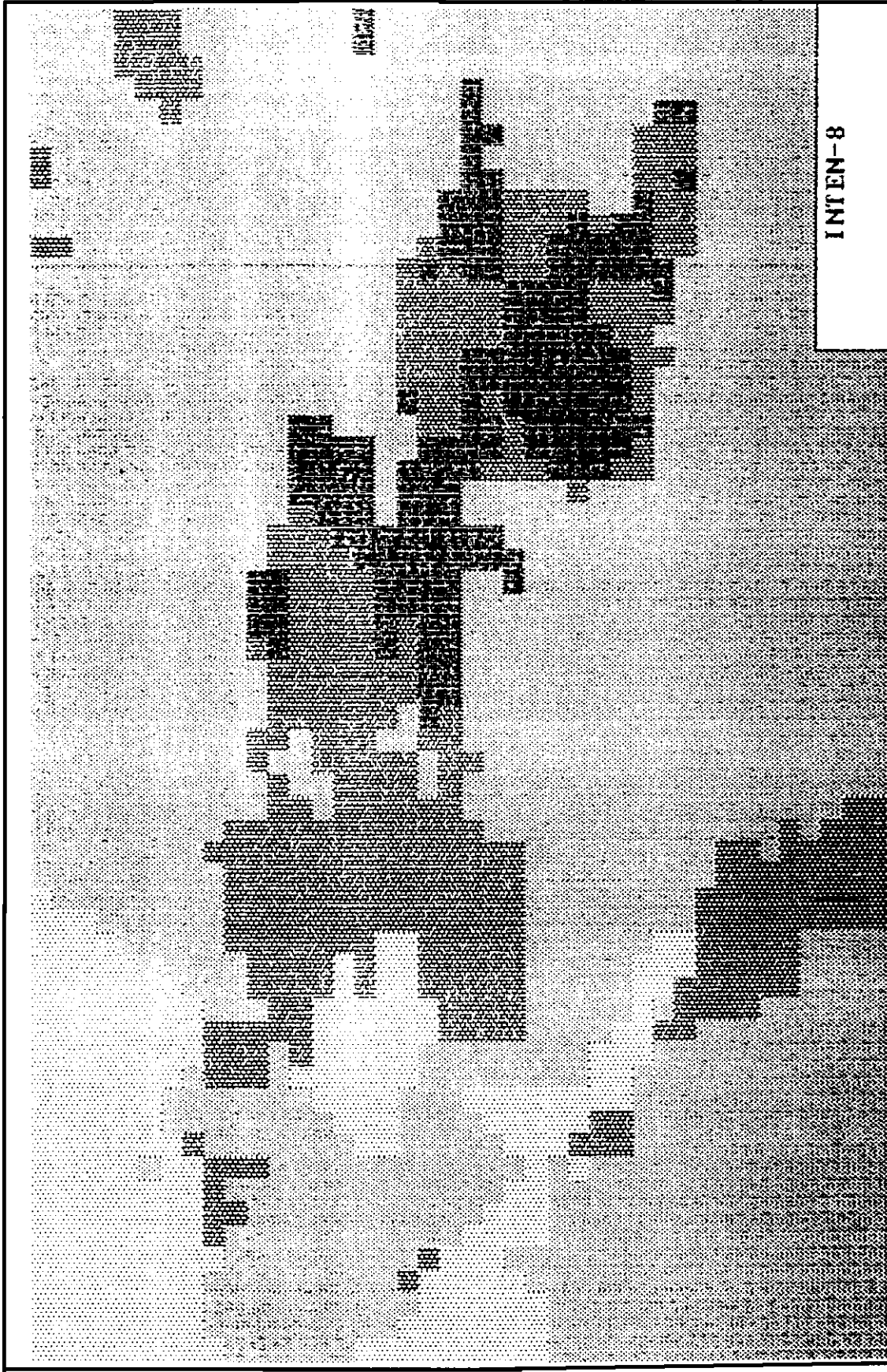
MAPA V-6. Simulación de intensidades para el segmento de falla ORSI 3. Considerando afluencia no saturado.
FUENTE: Elaborado por Montero, C. y González, Y.



INTEN-7

▒	INTENSIDAD IV
▓	INTENSIDAD V
▄	INTENSIDAD VI
▀	INTENSIDAD VII
▁	INTENSIDAD VIII

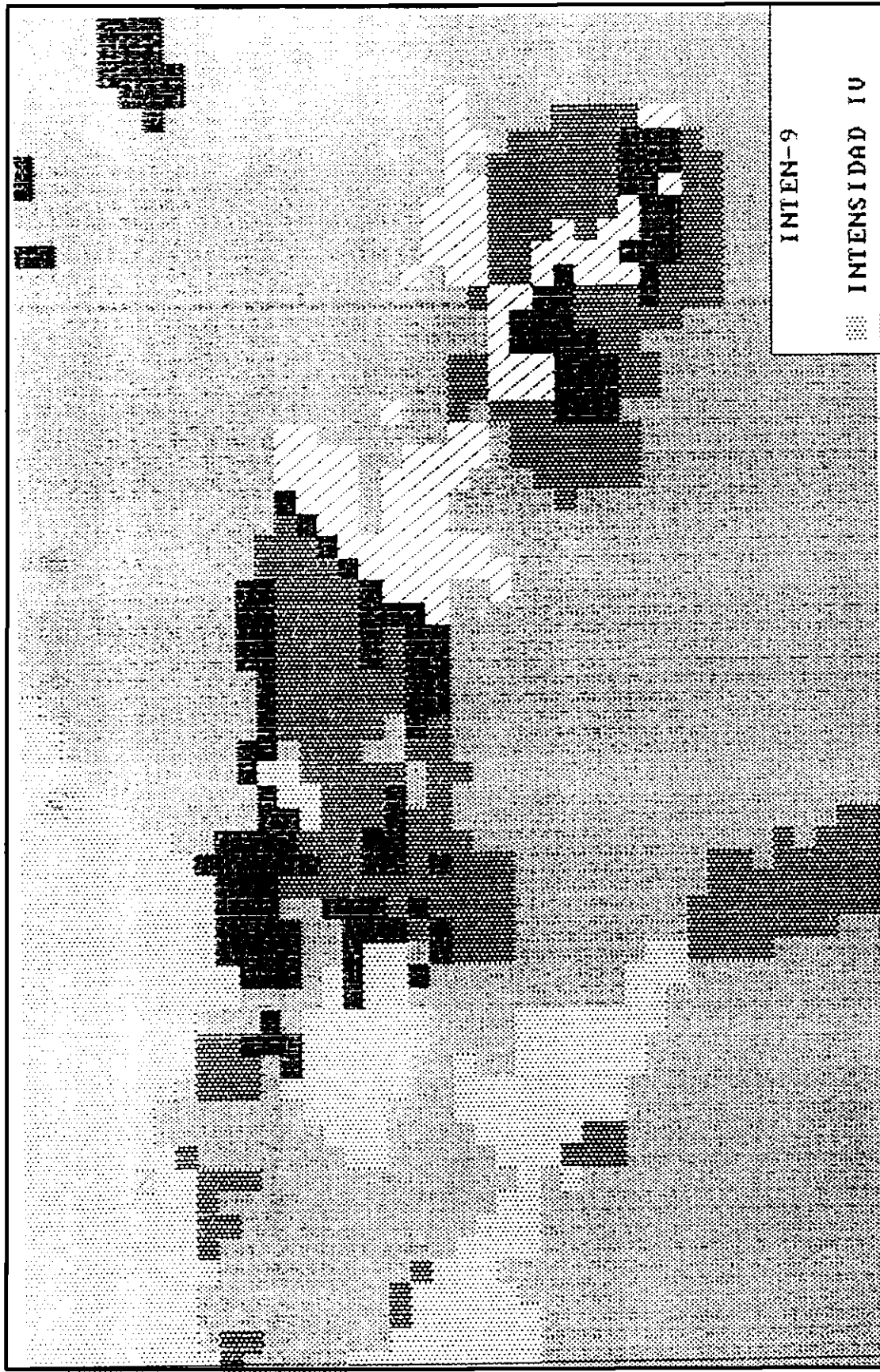
MAPA V-7. Simulación de intensidades para el segmento de falla OROSI 4. Considerando aluvión saturado.
FUENTE: Elaborado por Montero, C. y González, V.



INTEN-8

- INTENSIDAD IV
- INTENSIDAD V
- INTENSIDAD VI
- INTENSIDAD VII

MAPA V-8. Simulación de intensidades para el segmento de falla OROSI 4. Considerando aluvión no saturado.
FUENTE: Elaborado por Montero, C. y González, Y.



INTEN-9

- INTENSIDAD IV
- INTENSIDAD V
- INTENSIDAD VI
- INTENSIDAD VII
- INTENSIDAD VIII

MAPA V-9. Simulación de intensidades para el segmento de falla OROSI 5. Considerando aluvión saturado.

FUENTE: Elaborado por Montero, C. y González, V.